

УДК 535.33.539.26 : [546.821+546.72]=128

НАБЛЮДЕНИЕ СПЕКТРОВ Ti XXI–Fe XXV В РЕНТГЕНОВСКОМ ИЗЛУЧЕНИИ ЛАЗЕРНОЙ ПЛАЗМЫ

Ю. А. Михайлов, С. А. Пикуз, Г. В. Склизков,
А. Я. Фаенов и С. И. Федотов

С помощью светосильных рентгеновских спектрографов получены спектры Не-подобных ионов Ti XXI... Fe XXV, образующихся в лазерной плазме при плотности потока нагревающего излучения $\sim 10^{14}$ Вт/см². Характерной особенностью полученных спектров является наличие интенсивных сателлитных линий, соответствующих переходам с дважды возбужденных уровней Li-, Be- и т. д. ионов. Измеренная электронная температура составила ~ 800 эВ, ионизационная температура ~ 500 эВ, что свидетельствует о том, что лазерная плазма в условиях эксперимента была ионизующейся. Проводится сравнение спектра Fe XXV, полученного в настоящей работе, с ранее полученными спектрами в солнечной короне и вакуумной искре.

Введение

В проблеме лазерного управляемого термоядерного синтеза наряду с созданием мощных лазерных установок [1] важное место занимают разработка и совершенствование диагностических методик и приборов для исследования параметров плазмы [1, 2]. Высокотемпературная сверхплотная лазерная плазма является интенсивным источником рентгеновского излучения [2, 3], которое несет информацию о таких важных параметрах плазмы, как температура и плотность. Для проведения измерений этих параметров методами рентгеновской спектроскопии в лазерные термоядерные мишени могут быть введены тяжелые элементы в виде примесей или оболочек.

При выборе примесей следует учитывать, что для каждого элемента существует оптимальный, с точки зрения чувствительности метода и точности измерений, диапазон температур [4]: чем выше температура, тем больше должен быть заряд ядра Z . Измерение температур $T_e \geqslant 1$ кэВ потребует использования элементов с $Z > 20$.

Соответствующие спектральные линии H- и Не-подобных ионов, по которым можно производить измерения параметров плазмы, лежат в области длин волн $\lambda \leqslant 3$ Å. Особый интерес к таким ионам объясняется тем, что их рентгеновские спектры характеризуются относительно простой структурой, позволяющей проводить достаточно надежные сравнения экспериментальных данных с теоретическими работами [5, 8].

В лазерной плазме, образующейся при потоке нагревающего излучения на мишени $\sim 10^{14}$ Вт/см² как в плоском случае [2, 9], так и в случае сферического облучения [1, 10], электронная температура в корональной модели составляет ~ 1 кэВ. При таких температурах для элементов с $Z > 20$ доля H- и Не-подобных ионов в лазерной плазме невелика и для регистрации спектров в диапазоне длин волн 0.5...3 Å за одну вспышку лазера необходима светосильная спектральная аппаратура. Использование в этой области фокусирующих схем спектрографов, работающих на отражение от кристаллов, ограничено существенным ухудшением спектрального разрешения, что связано с малыми углами падения

на кристалл [11]. Поэтому для этой цели был использован светосильный спектрограф, выполненный по схеме Кошуа, обеспечивающий регистрацию спектров в области длин волн $\lambda \leq 3 \text{ \AA}$ [21].

В настоящей работе для нагрева плазмы использовался неодимовый лазер с выходной энергией $\sim 20 \text{ Дж}$ при длительности импульса $\sim 2 \text{ нс}$.

Лазерное излучение фокусировалось на поверхность плоской массивной мишени, при этом плотность потока составляла $\sim 10^{14} \text{ Вт}/\text{см}^2$.

На рис. 1 приведены денситограммы Ti XXI и Cr XXIII, полученные с помощью спектрографа по схеме Иоганна с кристаллом LiF, изогнутым по радиусу 500 мм, а также V XXI и Fe XXV, полученные со спектрографом по Кошуа с кристаллом LiF, изогнутым по радиусу 150 мм.

Характерной особенностью полученных спектров Не-подобных ионов является наличие интенсивных сателлитных линий, соответствующих переходам с дважды возбужденных уровней ионов более низкой кратности (Li-, Be- и т. д. подобные сателлиты). Если в спектрах гелиеподобных ионов с $Z < 17$ наблюдались в основном сателлиты, соответствующие переходам в Li-подобных ионах [4, 12], то в настоящей работе для элементов с $Z > 20$ наблюдаются также сателлиты, соответствующие переходам в других L-ионах: Be-подобные сателлиты в спектре Ti и V, Be-, B-подобные сателлиты в спектре Cr, Be-, B- и C-подобные сателлиты в спектре Fe. Заселение дважды возбужденных уровней в ионе с зарядом Z_i в принципе возможно двумя путями: 1) путем диэлектронной рекомбинации иона $(Z_i + 1)$, 2) путем прямого возбуждения электрона из K-оболочки иона Z_i .

Отношение интенсивности сателлита и интенсивности резонансной линии определяется [7, 8] в первом случае соотношением

$$n(T_e) = \frac{I_{Z_i}^{\text{д. а.}}}{I_R} = \alpha(T_e) \frac{N_{Z_i+1}}{N_{\text{He}}} \frac{\Gamma_\gamma A_{\gamma\gamma_0}}{\Gamma_\gamma + \sum A_{\gamma\gamma_0}}, \quad (1)$$

а во втором случае соотношением

$$\xi(T_Z) = \frac{I_{Z_i}^{\text{д. в.}}}{I_R} = \frac{N_{Z_i}}{N_{\text{He}}} c' \frac{A_{\gamma\gamma_0}}{\Gamma_\gamma + \sum A_{\gamma\gamma_0}}, \quad (2)$$

где I_R — интенсивность резонансной линии гелиеподобного иона, $I_{Z_i}^{a, b}$, $I_{Z_i}^{n, b}$ — интенсивности соответствующих сателлитов, N_{Z_i+1} и N_{Z_i} — концентрации соответствующих ионов, $a(T_e)$ — множитель, зависящий от электронной температуры плазмы T_e , T_z — ионизационная температура, Γ_γ — вероятность автоионизации уровня γ , $A_{\gamma\gamma_0}$ — вероятность радиационного перехода с уровня γ , $\sum A_{\gamma\gamma_0}$ — сумма вероятностей по нижним состояниям, c' — скорость столкновительного возбуждения.

Например, по данным [7], в случае иона Fe XXV величины $a(T_e)$ и $\xi(T_z)$ для сателлита j^1 составляют соответственно 4.2 и 0.026 при $T_e = T_z = 930$ эВ.

Существует ряд Li-подобных сателлитов, которые обусловлены в основном диэлектронной рекомбинацией, т. е. их интенсивности не зависят от электронной плотности и ионизационного состояния плазмы и определяются только электронной температурой [см. формулу (1)]. Электронная температура, определенная по самым интенсивным из них k и j , приведена на рис. 1.

С другой стороны, имеются Li-подобные сателлиты, обусловленные в основном прямым возбуждением снизу, интенсивности которых существенным образом зависят от ионизационного состояния плазмы, т. е. отношения N_{Li}/N_{He} [см. формулу (2)]. Для характеристики ионизационного состояния плазмы в работе [7] была введена так называемая ионизационная температура T_z , причем $T_z = T_e$ соответствует равновесной плазме, $T_z < T_e$ — ионизующейся плазме, $T_z > T_e$ — рекомбинирующей плазме. Используя данные работы [7], в настоящей работе определена величина T_z по отношению интенсивностей сателлитов q и a к интенсивности резонансной линии (более подробно методика определения T_z и T_e описана в [4]). Величина T_z в данных экспериментах составляет $400 \div 500$ эВ (рис. 1), т. е. отношение $(T_z/T_e) \sim 0.6$, что соответствует случаю ионизующейся плазмы. Полученные в настоящей работе значения $T_e \sim 800$ эВ для элементов с большим зарядом ядра указывают на то, что подобная методика характеризует в случае измерения по ионам максимальной кратности наиболее горячую область плазмы в отличие от измерений по спектрам He-подобных ионов с зарядом ядра $Z=12 \div 20$ [9, 13, 14]. В последнем случае измеренная T_e изменялась от ~ 250 до ~ 600 эВ при переходе от Mg к Ca.

Для исследуемых ионов с зарядами ядер $Z=22 \div 25$ при температуре ~ 800 эВ интенсивности Li-подобных сателлитов становятся сравнимыми с интенсивностями резонансной и интеркомбинационной линии, а в спектре He-подобного железа значительно превосходят их, что хорошо согласуется с теорией (рис. 2, г). В наблюдаемом спектре железа максимальную интенсивность имеют линии, соответствующие Be-подобным сателлитам, что качественно соответствует расчетам [8]. По этим сателлитам также в принципе можно проводить измерения параметров плазмы.

Таким образом, рентгеновские спектры He-подобных ионов элементов с зарядом ядра $Z \sim 25$ могут быть использованы для определения электронной температуры и ионизационного состояния наиболее горячей области плазмы. При измерении характерной температуры методом фильтров возникают сложности, связанные с возможными отклонениями спектра электронов от максвелловского, т. е. в определении электронной температуры термализованной части плазмы. В методе [12], основанном на измерении электронной температуры по отношению интенсивностей резонансных линий H- и He-подобных ионов, точность определения T_e существенно зависит от выбранной модели ионизационного равновесия и тщательности калибровки спектральной аппаратуры. Рассматриваемая в настоящей работе методика измерения электронной температуры нечувствительна к выбору модели равновесия в плазме и наличию в спектре электронов высокоэнергетичного «хвоста». Анализ ионизационного со-

¹ Обозначения k , j , q , a — см. в работе [15].

стояния в лазерной плазме по интенсивностям сателлитов, обусловленных внутриоболочечным возбуждением, может быть полезен при изучении механизмов поглощения и преобразования энергии нагревающего излучения в корональной области плазмы.

В заключение следует отметить, что полученные в настоящей работе спектры представляют интерес для астрофизики. Особенно это относится к спектру железа, которое является наиболее обильным тяжелым элементом на солнце [16].

На рис. 2, *a* приведен спектр железа, зарегистрированный при солнечной вспышке [20], который соответствует электронной температуре в плазме короны $T_e \sim 2150$ эВ и случаю равновесия ($T_z = T_e$). При этом вклад в интенсивность сателлитов за счет возбуждения электронным ударом снизу невелик. В спектре вакуумной искры [19], с помощью которой делались попытки воспроизведения солнечного спектра [17-19], велико влияние возбуждения электронным ударом. При этом интенсивность сателлитов *q* и *a* более чем в два раза превышает интенсивность сателлитов *k* и *j*, обусловленных только диэлектронной рекомбинацией. Ионизационная температура составляет $T_z \sim 1/3 T_e$, т. е. плазма является сильно ионизующейся.

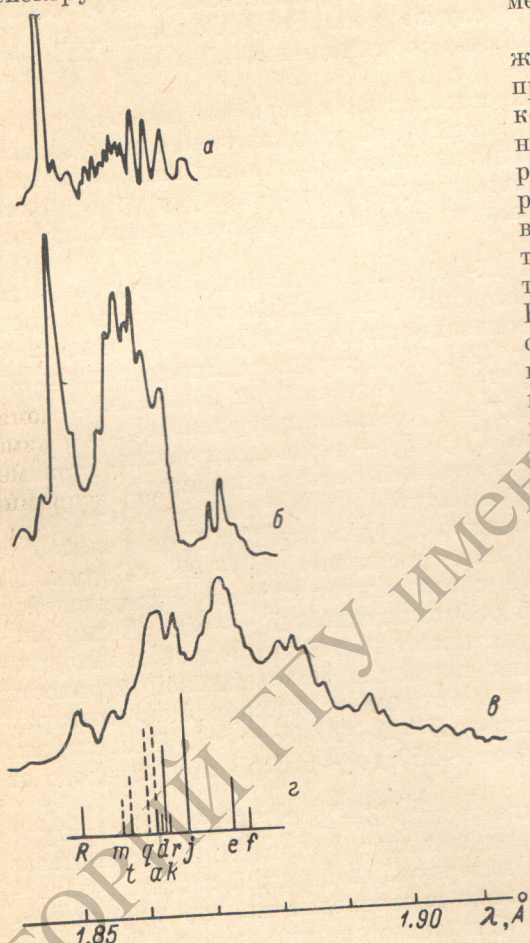


Рис. 2. Характерные денситограммы не-подобных ионов Fe XXV.

a — в спектре солнечной короны [25], $T_e = 2150$, $T_z = 2150$ эВ; *b* — в спектре вакуумной искры [24], $T_e = 2330$, $T_z = 710$ эВ, $N_e = 3 \cdot 10^{20} \text{ см}^{-3}$; *c* — спектр настоящей работы, $T_e = 830$, $T_z = 500$ эВ, $N_e > 10^{21} \text{ см}^{-3}$; *g* — теоретический спектр, рассчитанный по данным работы [12] для случая *b*.

Лазерная плазма в настоящем эксперименте характеризуется меньшей температурой (рис. 2, *c*), а также промежуточным по отношению к условиям в солнечной короне и вакуумной искре ионизационным состоянием ($T_z \sim 0.6 T_e$). Интенсивности сателлитов *q* и *a* в этом случае сравнимы с интенсивностями сателлитов *k* и *j*. Отсутствие в спектрах лабораторных источников линий, соответствующих магнитоквадрупольному переходу $1s^2 \ ^1S_0 \rightarrow 1s2p \ ^3P_2$ и магнитодипольному переходу $1s^2 \ ^1S_0 \rightarrow 1s2s \ ^3S_0$, связано с высокой электронной плотностью ($N_e \geq 10^{20} \text{ см}^{-3}$).

Из сопоставления лабораторных и астрофизических спектров ясно, что лазерная плазма по физическим условиям ближе к солнечной короне, чем вакуумная искра. Принципиальным здесь является то, что процессы ионизации и возбуждения и в короне, и в лазерной плазме имеют тепловой характер в отличие от вакуумной искры, где они определяются ускорительными механизмами.

Авторы благодарны Н. Г. Басову, О. Н. Крохину за интерес к работе, В. А. Бойко, У. И. Сафоновой, А. М. Урнову, В. А. Чиркову, Е. А. Юкову за обсуждение результатов.

Литература

- [1] Н. Г. Басов, О. Н. Крохин, Г. В. Склизков, С. И. Федотов. Тр. ФИАН СССР, 76, 146, 1974.
- [2] В. А. Бойко, О. Н. Крохин, Г. В. Склизков. Тр. ФИАН СССР, 76, 186, 1974.
- [3] А. А. Кологризов, Ю. А. Михайлов, Г. В. Склизков, С. И. Федотов, А. С. Шиканов, Н. Р. Шпольский. Квантовая электроника, 2, 2223, 1975.
- [4] В. А. Бойко, С. А. Пикуз, А. Я. Фаенов. Препринт ФИАН СССР, № 17, 1976.
- [5] Л. А. Вайнштейн, У. И. Сафонова. Препринт ИСАН № 6, М., 1975.
- [6] А. В. Виноградов, И. И. Собельман, Е. А. Юков. Квантовая электроника, 1, 268, 1974.
- [7] C. P. Bhalla, A. H. Gabriel, L. O. Presnyakov. Mon. Not. R. astr. Soc., 172, 359, 1975.
- [8] Yu. I. Grineva, U. I. Safronova, A. M. Urnov. Preprint № 58, Lebedev Physical Institute, Academy of Sciences of the USSR, Moscow, 1975.
- [9] В. А. Бойко, О. Н. Крохин, С. А. Пикуз, А. Я. Фаенов, А. Ю. Чугунов. Физика плазмы, 1, 309, 1975.
- [10] B. R. Guscott, G. Charatis, J. S. Hildum, R. R. Johnson, F. J. Mayeur, N. K. Moncur, D. E. Solomon, C. E. Thomas. Report at the VII European Conf. on Controlled Fusion and Plasma Physics, Switzerland, 1975.
- [11] И. Б. Боровский. Физические основы рентгеноспектральных исследований. гл. 12. Изд. МГУ, 1956.
- [12] D. J. Nagel, P. G. Burkhalter, C. M. Dozier, J. F. Holzrichter, B. M. Klein, J. M. McMahon, J. A. Stamper, R. R. Whitlock. Phys. Rev. Lett., 33, 743, 1974.
- [13] В. А. Бойко, О. Н. Крохин, С. А. Пикуз, А. Я. Фаенов. Квантовая электроника, 1, 2178, 1974.
- [14] В. А. Бойко, С. А. Пикуз, А. Я. Фаенов. Квантовая электроника, 2, 1216, 1975.
- [15] Е. В. Аглицкий, В. А. Бойко, С. М. Захаров, С. А. Пикуз, А. Я. Фаенов. Квантовая электроника, 1, 908, 1974.
- [16] И. Л. Бейгман. Интерпретация рентгеновских спектров Солнца. Астрономия (итоги науки и техники), ВНИТИ, М., 1974.
- [17] T. N. Lie, R. C. Elton. Phys. Rev., A3, 865, 1971.
- [18] B. S. Fraenkel, J. L. Schwob. Phys. Lett., 40, 83, 1972.
- [19] Э. Я. Гольц, М. А. Житник, Э. Я. Конопонов, С. Л. Мандельштам, Ю. В. Сидельников. Препринт ИСАН № 4, М., 1974.
- [20] Yu. I. Grineva, V. I. Kagev, W. Korgneev, V. V. Krutov, S. L. Mandel'stam, L. A. Vainstein, B. N. Vasiliev, I. A. Zhithnik. Solar Physics, 29, 441, 1973.
- [21] Ю. А. Михайлов, С. А. Пикуз, Г. В. Склизков, А. Я. Фаенов, С. И. Федотов. Препринт ФИАН СССР, 21, М., 1976.

Поступило в Редакцию 6 мая 1976 г.